



متوفّرة على الموقع: <http://www.basra-sciencejournal.org>

ISSN -1817 -2695

تهيجات البرم النظيري والتناظر في نظائر السليكون $^{28-32}\text{Si}$

موسى محمد مهدي و فلاح حسين خضير الخضير

قسم الفيزياء - كلية التربية - جامعة البصرة - البصرة - العراق

الاستلام 2011-11-24، القبول 2011-10-3

الملخص

تمت دراسة المستويات ذات التمايز ذات الموجب لنظائر السليكون (الزوجية - الزوجية) $^{28-32}\text{Si}$ باستخدام أنموذج البوزونات المتقاعلة IBM-3 . شملت هذه الدراسة تركيب الحزم والتناظر . ان الهدف الأساس في هذا البحث هو تحديد خواص مستويات تهيج البرم النظيري . تم حساب نسب طاقة المستويات والتي من خلالها تم تحديد شكل النواة . كذلك حساب قيمة الانتقالات الكهرومغناطيسية رباعية القطب الكهربائي (E2)B و ثنائية القطب المغناطيسي B(M1) و نسب التفرع ، قورنت النتائج المستحصلة مع القيم العملية المتوفرة ومن خلال التوافق الجيد تبين قدرة الأنموذج في وصف التركيب النووي لهذه الانوية.

الكلمات المفتاحية : أنموذج البوزونات المتقاعلة IBM-3 ، تهيجات البرم النظيري والتناظر ، الانوية الخفيفة ، نظائر السليكون والمعنيسيوم

1. المقدمة : Introduction

خصائص هذه الأزدواجات لذا دعت الحاجة إلى معالجة هذه الأزدواجات عن طريق البوزون ولذلك سمى هذا الأنماذج بتقرير البوزونات المتفاعلة. إن هذا الأنماذج توسع وتطور بثبات منذ البداية وهو الآن يتكون من مجموعة نماذج تخص التركيب النووي وترتبط بفرضيات مشتركة فيما يخص تركيبها الفيزياء والرياضي .

إن الإصدار الأول لهذا الأنماذج IBM-1 لا يميز بين البروتونات والنيوترونات ويعدها كنيوكلونات متشابهة ، في حين نجد أن الأنماذج IBM-2 يميز بين البروتونات والنيوترونات وبالتالي وجود بروتون - بوزون IBM-3 ونيوترون - بوزون . أما الإصدارات الجديدان IBM-4 فإنهما يتضمنان تقاعلا بوزون ثالث هو بروتون - نيوترون بوزون وهما مهمان جدا في التطبيق للنوى التي فيها $N = Z$ و $N \approx Z$ ^[5]. إن التطور الأخير لأنماذج البوزونات المتفاعلة تضمن تفسيرا لبعض المسائل المتعلقة بالتركيب النووي للأنوية الخفيفة . تبعا لهذا الوصف فان IBM-3 هو الأنسب للاستخدام في دراستنا الحالية.

بعد أن أظهرت النماذج النووية السابقة عدم إمكانيتها في إعطاء وصف تام للخصوص النووي وكذلك عدم تطابق بعض نتائجها مع النتائج العملية التي تم الحصول عليها من دراسة التفاعلات النووية. اقترح ^[1-3] (Arima and Iachello) أنموذجا نوويا يربط أنماذج القشرة النووية مع النماذج التجميعية. فقد استطاع أن يصف خصائص المستويات التجميعية السفلية (*Low lying collective levels*) في الانوية (الزوجية- الزوجية) والتي تتصف بحركتها التجميعية. إن القاعدة الأساسية لهذا الأنماذج قد بنيت على بعض المفاهيم والأسس التي تم تطبيقها في النماذج النووية السابقة فضلا عن الاستفادة من النتائج العملية واعتمادا على التأثيرين المتبادلتين بين النيوكلونات ^[4] :

- 1- قوة تفاعل الأزدواج بين الجسيمات المتشابهة (بروتون - بروتون ، نيوترون - نيوترون) .
 - 2- قوى تفاعل رباعي القطب بين الجسيمات غير المتشابهة (بروتون - نيوترون).
- ومما سبق يتبيّن لنا ان النيوكلونات داخل النواة تتصرف على شكل ازدواجات بحيث ترتبط التهيجات النووية مع

2. أنماذج البوزونات المتفاعلة الثالث IBM-3

والفناء (*annihilation*) للبوزونات أنفة الذكر في أعلى تأخذ الشكل الآتي^[6]:

$$b_{lm,1\mu}^+, b_{l'm',1\mu'}^- ,$$

حيث ان هذه المؤثرات افترضت لتحقيق علاقة التبادل للبوزون وكالاتي :

$$[b_{lm,1\mu}^+, b_{l'm',1\mu'}^-] = [b_{lm,1\mu}, b_{l'm',1\mu'}] = 0 \quad , \quad [b_{lm,1\mu}, b_{l'm',1\mu'}^+] = \delta_{ll'}\delta_{mm'}\delta_{\mu\mu'}$$

إن مولدات المجموعة (18) U_{sd} يمكن ان نبينها بشكل واضح من علاقات التبادل التالية :

$$[b_{lm,1\mu}^+ b_{l'm',1\mu'}, b_{l''m'',1\mu''}^+ b_{l'''m''',1\mu'''}] = b_{lm,1\mu}^+ b_{l'''m''',1\mu'''} \delta_{l'l''} \delta_{m'm''} \delta_{\mu'\mu''} - b_{l'm',1\mu'}^+ b_{l'''m''',1\mu'''} \delta_{ll''} \delta_{mm''} \delta_{\mu\mu''} \quad (1)$$

يمكن أيضا كتابة مولدات المجموعة $U(18)$ كالتالي [5]:

$$(b_{l,1}^+ \times \tilde{b}_{l',1})^{(L,T)}_{M_L, M_T} = \sum_{mm'} \langle lm \ l'm' | LM_L \rangle \langle 1\mu \ 1\mu' | TM_T \rangle b_{lm,1m}^+ \tilde{b}_{l'm',1\mu'} \quad (2)$$

يكون أكثر أهمية مقارنة مع عدد البوزونات . توجد هنالك عدة طرق في كتابة هاملتوني IBM-3 بحيث تكون كافية في وصف خصائص المستويات التجميعية السفلية في الانوية ، وفي فضاء البرم النظيري يمكن كتابته بحدود تفاعل الجسيمين [5]:

$$\hat{H} = \varepsilon_s \hat{n}_s + \varepsilon_d \hat{n}_d + H_2$$

حيث ان $\tilde{b}_{lm,1\mu} \equiv (-1)^{l-m+1-\mu} b_{l-m,1\mu}$ وان الرمز بين الأقواس الزاوية يشير إلى معامل *Clebsch-Gordan* . الدراسات النظرية لمعاملات IBM-3 تبين إن هاملتوني IBM-3 لا يعتمد فقط على عدد البوزونات بل يعتمد أيضا على قيمة البرم النظيري (*isospin*) [7] . الاعتماد على البرم النظيري

(3)

حيث

$$\begin{aligned} H_2 &= \frac{1}{2} \sum_{L_2 T_2} C_{L_2 T_2} ((d^+ d^+)^{L_2 T_2} \cdot (\tilde{d} \tilde{d})^{L_2 T_2}) + \frac{1}{2} \sum_{T_2} B_{0 T_2} ((s^+ s^+)^{0 T_2} \cdot (\tilde{s} \tilde{s})^{0 T_2}) \\ &+ \sum_{T_2} A_{2 T_2} ((s^+ d^+)^{2 T_2} \cdot (\tilde{d} \tilde{s})^{2 T_2}) + \frac{1}{\sqrt{2}} \sum_{T_2} D_{2 T_2} ((s^+ d^+)^{2 T_2} \cdot (\tilde{d} \tilde{d})^{2 T_2}) \\ &+ \frac{1}{2} \sum_{T_2} G_{0 T_2} ((s^+ s^+)^{0 T_2} \cdot (\tilde{d} \tilde{d})^{0 T_2}) \end{aligned} \quad (4)$$

حيث ان :

$$(b_1^+ b_2^+)^{L_2 T_2} \cdot (\tilde{b}_3 \tilde{b}_4)^{L_2 T_2} = (-1)^{(L_2 + T_2)} \sqrt{(2L_2 + 1)(2T_2 + 1)} [(b_1^+ b_2^+)^{L_2 T_2} \times (\tilde{b}_3 \tilde{b}_4)^{L_2 T_2}]^{00} \quad (5)$$

يمثل الضرب النقطي في كل الزخم الزاوي والبرم الزاوي لنظام البوزونين على التوالي . ومعاملات النظيري . إن قيمة انحراف الكمية هو :

الرموز (L_2 و T_2) تشير إلى البرم النظيري والزخم

(A, B, C, D, G) لها علاقة بمعاملات مصفوفة

لجسيمين حيث :

$$\tilde{b}_{lm,m\zeta} = (-1)^{l+m+1+m\zeta} b_{l-m-m\zeta} \quad (6)$$

$$B_{T_2} = \langle s^2 0T_2 | H_2 | s^2 0T_2 \rangle \quad \text{و} \quad T_2 = 0,1,2 \quad \text{مع} \quad A_{T_2} = \langle sd20 | H_2 | sd20 \rangle \\ \text{مع} \quad C_{L_2T_2} = \langle d^2 L_2 T_2 | H_2 | d^2 L_2 T_2 \rangle \quad \text{و} \quad D_{T_2} = \langle sd2T_2 | H_2 | d^2 2T_2 \rangle \quad , \quad G_{T_2} = \langle s^2 0T_2 | H_2 | s^2 0T_2 \rangle$$

بالاعتماد على القيم العملية المتوفرة إلى مستويات 1^+ وحالات التناظر المختلط الأخرى التي تتأثر بهذه المعاملات^[4].

يمكن إعادة كتابة مؤثر الهايكوني IBM-3 بدلالة مؤثرات كازمر Casimir operators وكالآتي^[6]:

$$H = \lambda C_{2U_{sd}(6)} + a_T T(T+1) + \alpha C_{1U_d(5)} + \gamma C_{2O_{sd}(6)} + \eta C_{2SU_{sd}(3)} + \beta_{C2U_d(5)} + \alpha C_{2O_d(5)} + a_L C_{O_d(3)} \quad (7)$$

حيث \hat{C}_{nG} تشير إلى الرتبة n لمؤثر كازمر للمجموعة G .
. . المعاملات ($L_2=0,2,4$ و $T_2=0,2$) مشابهة لفاعلات Majorana interactions في IBM-2 ، هذه التفاعلات مهمة لتحديد مستويات الطاقة ذات التناظر المختلط (Mixed symmetry) وبالتالي تحديد موقعها

الطاقة لهذا النظام بعد تحديد قيم ملائمة لمعاملات الهايكوني بصيغة مؤثرات كازمر من خلال إيجاد قوة كل حد اعتماداً على الحلول النظرية للنظام وباستخدام قيم الطاقة العملية للمستويات الواطئة المتاظرة للنواة ^{28}Si . أما قيمة المعامل λ فقد تم تحديده اعتماداً على موقع المستويات ذات التناظر المختلط والمستويات $J=1^+$ للأنوية قيد الدراسة.

ان معاملات الهايكوني المعطاة في المعادلة (7).

$$H_{28} = -0.06C_{2U(6)} + 2.5T(T+1) + 0.2C_{1U(5)} - 0.17C_{2O(6)} + 0.28C_{2O(5)} + 0.09C_{2O(3)} \quad (a)$$

$$H_{30} = -0.06C_{2U(6)} + 2.5T(T+1) + 0.22C_{1U(5)} - 0.18C_{2O(6)} + 0.28C_{2O(5)} + 0.13C_{2O(3)} \quad (b)$$

$$H_{32} = -0.12C_{2U(6)} + 2.5T(T+1) + 0.27C_{1U(5)} - 0.24C_{2O(6)} + 0.28C_{2O(5)} + 0.13C_{2O(3)} \quad (c)$$

3. طيف الطاقة و اختيار المعاملات

من أجل الحصول على خصائص التركيب النووي لنظائر السليكون $^{28-32}\text{Si}$ سنقوم بدراسة المستويات ذات التمايز الموجب (positive parity) وتشمل المستويات ذات التناظر الكلي (total symmetric) و المستويات ذات التناظر المختلط (mixed states) والمستويات ذات التناظر المترافق (symmetric states) ومستويات تهيجات البرم النظيري (isospin excitations) باستخدام انموذج البوزوونات المترافق (IBM-3). تم حساب مستويات

وطبقاً لهذه القيم فان قيم معاملات الهايكوني في المعادلة (4) موضحة بالجدول رقم (1).

جدول (1) يوضح معاملات الهايبرتونى لنظائر السليكون المعطاة في المعادلة (4).

| المعاملات | ^{28}Si | ^{30}Si | ^{32}Si |
|---|----------------------------|----------------------------|----------------------------|
| $\varepsilon_{s\rho} (\rho = \pi, n, \delta)$ | 3.790 | 3.670 | 3.080 |
| $\varepsilon_{d\rho} (\rho = \pi, n, \delta)$ | 5.650 | 5.640 | 5.250 |
| $A_i (i=0,1,2)$ | -10.460 , 4.540 , -4.540 | -10.500 , 4.500 , -4.500 | -10.720 , 4.280 , -4.280 |
| $C_{i0} (i=0,2,4)$ | -12.080 , -10.440 , -9.180 | -12.360 , -10.600 , -9.060 | -12.120 , -10.940 , -9.120 |
| $C_{i2} (i=0,2,4)$ | 2.920 , 4.560 , 5.850 | 2.640 , 4.400 , 5.940 | 2.880 , 4.060 , 5.880 |
| $C_{i1} (i=1,3)$ | -6.000 , -5.100 | -6.160 , -5.060 | -6.140 , -4.840 |
| $B_i (i=0,2)$ | -10.120 , 4.880 | -10.160 , 4.840 | -10.240 , 4.760 |
| $D_i (i=0,2)$ | 0.0 , 0.0 | 0.0 , 0.0 | 0.0 , 0.0 |
| $G_i (i=0,2)$ | -0.760 , -0.760 | -0.760 , -0.760 | -1.073 , -1.073 |

ويكون التوافق جيداً بين المستويات العملية والنظرية ، الحزمة الأخيرة التي تضم المستويات ($J^+ = 0^+, 2^+, 4^+$) التابعة للتقسيم نفسه [N] وذات البرم النظيري $T=0$ حيث قيمة الطاقة العملية لها تساوي 13.283 MeV وسجّلت لها قيمة 14.086 MeV . لقد تم الحصول أيضاً على القيمة 14.086 MeV . تكون تابعة للتقسيم $[N=2,2]$ و $T=0$ و ظهرت كالآتي ، الحزمة الأولى ($J^+ = 0^+, 2^+, 4^+$) تكون لها 14.086 MeV . 14.086 MeV و 13.283 MeV ($6.690 , 7.416 , 9.417$) للنتائج العملية والنظرية على التوالي ، الحزمة الثانية على التوالي ، تكون فيها نسب التوافق ممتازة بين النتائج العملية والنظرية بحيث لا يتعدي الفرق بين الحالتين (0.6) MeV ولجميع المستويات ، المستوى $J^+=6^+$ تم الحصول عليه نظرياً وسجّلت له القيمة (13.283) MeV ، الحزمة الأخيرة

النظير ^{28}Si : تمتلك هذه النواة 14 بروتون و 14 نيوترون و اعتماداً على الفشرة المغلقة $Z=20$ سيكون عدد نيوترونات التكافؤ مساوياً إلى عدد بروتونات التكافؤ ويساوي 6 . الشكل (1) يبيّن المقارنة بين النتائج العملية ونتائج IBM-3 حيث افلح الأنماذج في حساب قيمة مستويات الطاقة لهذا لنظير التي رتبت بالاعتماد على تلازير المستويات وعلى البرم النظيري $[T]$ ، ومن خلال الشكل نجد أن هنالك ثلالث حزم مرتبة حسب تسلسل ظهور المستويات تكون تابعة لتقسيم التلازير $[N]$ وذات برم نظيري $T=0$ ، فمستويات الحزمة الأرضية ($0_1^+, 2_1^+, 4_1^+, 6_1^+$) ذات التلازير الكلي قيم طاقتها العملية تساوي $0.0 , 1.779 , 4.617$ MeV ^[8] (8.543) متوافقة و منسجمة مع النتائج النظرية لأنماذج IBM-3 على التوالي ، نظرياً تم الحصول على المستويين ($8_1^+, 10_1^+$) و سجّلت لهما القيم $(14.733 , 21.687)$ ، طاقات التهيج للحزمة الثانية التابعة لنفس التقسيم أعلى توضح التقارب الواضح مع القيم العملية لهذه المستويات والتي ظهرت بالترتيب حسب التسلسل ، الحزمة الثانية وتنتمي لها المستويات ($J^+ = 2^+, 3^+, 4^+, 5^+, 6^+$)

على طبيعة مستويات الطاقة تم تحليل الدوال الموجية

لها وخاصة المستويات $J^+=2^+$ وهى كالتالى :

ظهرت بالترتيب الآتى

$(J^+=2^+, 3^+, 4^+, 5^+, 6^+)$ وسجلت توافقا

ونقاربا جيدا للنتائج العملية والنظرية . من أجل التعرف

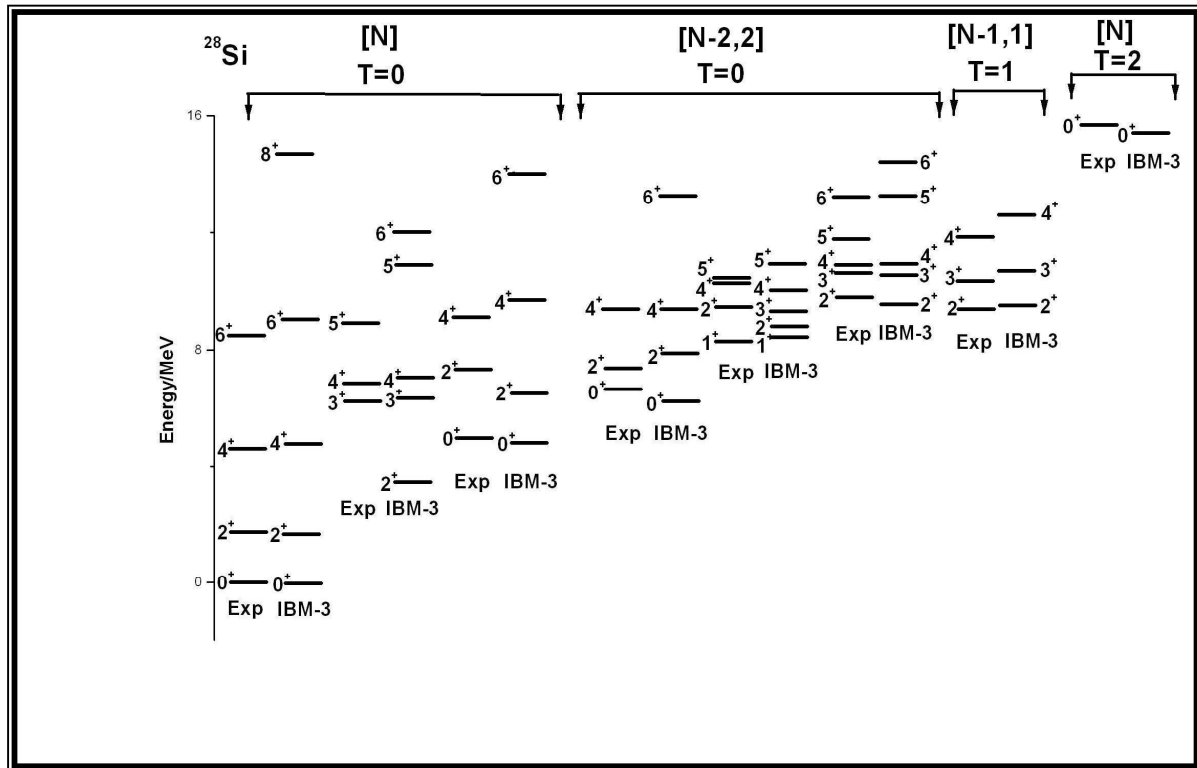
$$\begin{aligned} |2_1^+\rangle &= 0.309 \left\{ |s_v^3 s_\pi^2 d_\pi^1\rangle + |s_v^2 s_\pi^3 d_\pi^1\rangle \right\} + 0.220 \left\{ |s_v^2 s_\pi^2 d_\nu^1 d_\pi^1\rangle + |s_v^2 s_\pi^1 d_\nu^1 d_\pi^2\rangle \right\} - 0.269 |s_\delta^4 d_\delta^2\rangle \\ &- 0.245 |s_\delta^2 d_\nu^1 d_\pi^1 d_\delta^2\rangle + 0.189 \left\{ |s_v^2 s_\pi^1 d_\nu^1 d_\pi^2\rangle + |s_v^1 s_\pi^2 d_\nu^2 d_\pi^1\rangle \right\} + \dots \end{aligned}$$

$$\begin{aligned} |2_2^+\rangle &= -0.415 |s_v^2 s_\pi^2 d_\nu^1 d_\pi^1\rangle - 0.240 \left\{ |s_v^3 s_\pi^2 d_\pi^1\rangle + |s_v^2 s_\pi^3 d_\nu^1\rangle \right\} - 0.171 \left\{ |s_v^3 s_\pi^2 d_\pi^1\rangle + |s_v^3 s_\pi^2 d_\pi^1\rangle \right\} \\ &+ 0.169 \left\{ |s_v^1 s_\pi^1 d_\nu^1 d_\pi^1 s_\delta^2\rangle \right\} - 0.269 |s_\delta^5 d_\delta^1\rangle - 0.144 \left\{ |s_v^2 s_\pi^2 d_\nu^1 d_\pi^1\rangle + |s_v^2 s_\pi^2 d_\nu^1 d_\pi^1\rangle \right\} + \dots \end{aligned}$$

$$\begin{aligned} |2_3^+\rangle &= 0.334 |s_v^1 s_\pi^3 d_\nu^1\rangle - 0.334 |s_\delta^4 d_\pi^1\rangle - 0.323 |s_\delta^4 d_\nu^1\rangle + 0.289 |s_v^1 s_\pi^1 s_\delta^2 d_\pi^1\rangle \\ &+ 0.225 |s_v^1 s_\pi^1 d_\nu^1 d_\pi^2\rangle + \dots \end{aligned}$$

في حين نتائج IBM-3 تساوى (15.00) MeV مما يدل على صحة اختيار قيمة المعامل a_T المختار، وللوصف نفسه نلاحظ ظهور مستوى آخر عند برم نظيري $T=2$ نفسه نلاحظ ظهور مستوى آخر عند برم نظيري $T=2$ بطاقة نظرية مقدارها (15.567) MeV و هي قريبة جدا من المستوى العملي $J=6^+$ بطاقة (15.914) MeV ، ومن الجدير بالذكر ان مستويات التناظر المختلط ضمن مدى الطاقة المختار تكون محصورة فقط ضمن التقسيمات $[N-1,1]$ و $[N-2,2]$ في حين ان مستويات التناظر الكلى تكون تابعة فقط للتقسيم $[N]$. نلاحظ من الجدول (2) ان هناك توافقا ممتازا لقيم العملية والنظرية لنسب التحديد لهذا النظير وهي قريبة لقيمة التحديد . O(6)

الحد $(|s_\delta^3 d_\delta^3\rangle)$ يعني ان ثلاثة بوزونات نوع s مزدوجة مع ثلاثة بوزونات نوع d . من خلال الدوال الموجية نلاحظ ان المستويات الثلاث لها مركبات كبيرة من 1-d-boson , 2-d-boson, 1-d-boson على الترتيب . بصورة عامة مستويات الحزمة الأرضية دوالها الموجية تمتلك $s^N, s^{N-1}d, s^{N-2}d^2, s^{N-3}d^3$ على الترتيب . ان النتائج المستحصلة في الدراسة الحالية للمستويات التابعه للتقسيم $[N-1,1]$ و ببرم نظيري $T=1$ كانت متتفقة مع القيم العملية حيث تكون فيها نسب التقارب عالية جدا بحيث لا يتعدى الفرق بين الحالتين 0.6 MeV ، عمليا المستوى $(J^+=0^+, T=2)$ التابع للتقسيم (15.227) MeV تكون له طاقة عملية مقدارها $[N]$



الشكل (1) مقارنة بين النتائج العملية والنظرية لمستويات الطاقة للناظير ^{28}Si .

($J^+ = 0^+, 2^+, 4^+$) وسجلت لها القيم MeV (4.112, 4.403, 7.223, 7.552) للنتائج العملية والنظرية على التوالي ، الحزمة الثالثة التابعة للتقسيم نفسه تكون فيها نسب التوافق مع النتائج العملية عالية جدا مع العلم ان جميع مستويات هذه الحزم هي مستويات تناظر كلية . وكذلك نجد ان مستويات التناظر المختلط التابعة للتقسيم [N-1,1] وببرم نظيري $T=1$ تظهر الانسجام الواضح والتوافق فالمستويات مع نتائج IBM-3 (0.5) للنتائج العملية والنظرية ولجميع المستويات ، وهذا يؤكد نجاح IBM-3 في حساب قيم الطاقات لهذه المستويات . الدوال الموجية للمستوى $J^+=2^+$ هي كالتالي :

الناظير ^{30}Si : يحتوى هذا الناظير على 14 بروتونا و 16 نيوترونا وبالاعتماد على الفشرة المغلقة $Z=20$ سيكون عدد بروتونات التكافؤ (6) في حين يكون عدد نيوترونات التكافؤ (4) . ان نتائج دراستنا لهذا الناظير موضحة بالشكل (2) ومن مقارنة النتائج العملية والنظرية تؤكد التقارب والانسجام الواضحين بينهما . ومن الشكل نلاحظ وجود ثلث حزم تابعة للتقسيم [N] وبيرم نظيري $T=1$ فنجد ان مستويات الحزمة الأرضية ذات التناظر الكلى ($0^+_1, 2^+_1, 4^+_1, 6^+_1$) تكون (0.0, 2.235, 5.279, 9.367)MeV قيمها العملية ومتلائمة مع النتائج النظرية (0.0, 0.0, 1.850, 5.175, 9.972, 16.242) MeV بالنسبة للحزمة الأخرى التابعة للتقسيم نفسه ظهرت على الترتيب الآتى

$$\left| 2_{1}^{+} \right\rangle = 0.486 \left| s_{\nu}^2 s_{\pi}^2 d_{\pi}^1 \right\rangle + 0.397 \left| s_{\nu}^1 s_{\pi}^3 d_{\nu}^1 \right\rangle + 0.279 \left| s_{\nu}^1 s_{\pi}^1 d_{\nu}^1 d_{\pi}^2 \right\rangle + 0.239 \left| s_{\nu}^1 s_{\pi}^1 d_{\nu}^1 d_{\pi}^2 \right\rangle \\ - 0.229 \left\{ \left| s_{\nu}^1 s_{\pi}^2 s_{\delta}^1 d_{\delta}^1 \right\rangle + \left| s_{\nu}^1 s_{\pi}^1 s_{\delta}^2 d_{\pi}^1 \right\rangle \right\} + \dots$$

$$\left| 2_{2}^{+} \right\rangle = 0.567 \left| s_{\nu}^1 s_{\pi}^2 d_{\nu}^1 d_{\pi}^1 \right\rangle + 0.401 \left| s_{\nu}^2 s_{\pi}^2 d_{\pi}^1 \right\rangle - 0.267 \left| s_{\nu}^1 s_{\pi}^1 s_{\delta}^1 d_{\pi}^1 d_{\delta}^1 \right\rangle \\ + 0.231 \left| s_{\pi}^3 d_{\nu}^2 \right\rangle + 0.200 \left| s_{\pi}^1 s_{\delta}^2 d_{\delta}^2 \right\rangle + \dots$$

$$\left| 2_{3}^{+} \right\rangle = 0.334 \left| s_{\nu}^1 s_{\pi}^3 d_{\nu}^1 \right\rangle - 0.334 \left| s_{\delta}^4 d_{\pi}^1 \right\rangle - 0.323 \left| s_{\delta}^4 d_{\nu}^1 \right\rangle + 0.289 \left| s_{\nu}^1 s_{\pi}^1 s_{\delta}^2 d_{\pi}^1 \right\rangle \\ + 0.225 \left| s_{\nu}^1 s_{\pi}^1 d_{\nu}^1 d_{\pi}^2 \right\rangle + \dots$$

القارب عالية بين النتائج العملية والنظرية بحيث لا يتعدى الفرق بين الحالتين (0.8) MeV ، اما الحزمة الأخرى فتضم المستويات ($J^+ = 0^+, 2^+, 4^+$) الأخرى فتضم المستويات ($J^+ = 0^+, 2^+, 4^+$) و سجلت لها القيم التالية MeV (8.887 ، 9.362 ، 10.622 ، 8.962 ، 9.269 ، 10.809) و (10.622) للنتائج العملية والنظرية على التوالي ونلاحظ كذلك ان المستويين

$J^+ = 0^+, 2^+$ متقاربان من بعضهما وفرق الطاقة بينهما صغير ، من حسابات الأنماذج وجد ان طاقة المستويات ($J^+ = 0^+, 1^+, 3^+, 5^+$) تساوي 15.006 ، 16.398 ، 17.498 ، (MeV) ، عمليا لم تتتوفر لدينا معلومات عن ظهور هذه المستويات ، نظريا تم الحصول على المستويات ($J^+ = 0^+, 8^+, 10^+$) ذات برم نظيري T=3 و سجلت لها القيم 25.00 ، 29.502 ، 48.982 (MeV) وهذا يؤكد إمكانية الأنماذج في حساب طاقات مستويات تهييجات البرم النظيري العالية . نسب الطاقة تم حسابها ووجد ان هناك تقاربا واضحا وممتازا مع النتائج

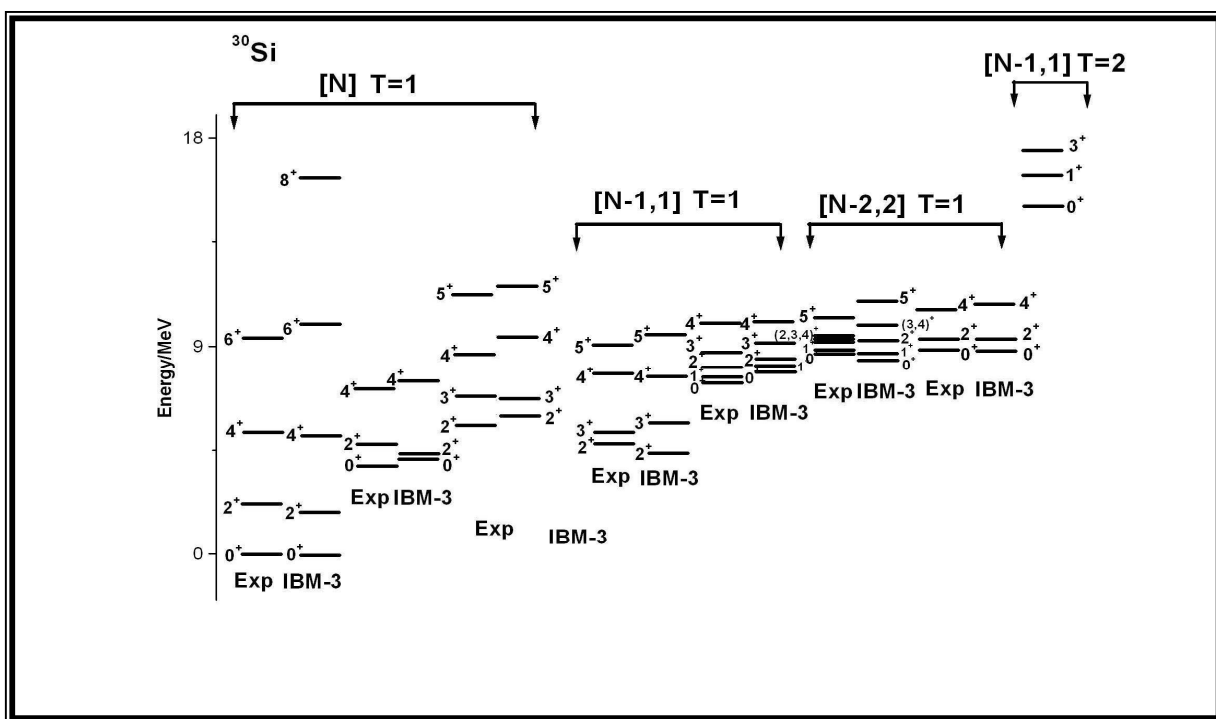
الحد ($s_{\nu}^1 s_{\pi}^3 d_{\nu}^1$) يعني ان بوزون من نوع s_{ν} مزدوج مع ثلاثة بوزونات من نوع s_{π} وبوzon واحد من نوع d_{ν} بحيث يجب ان يكون العدد الكلي للبوزونات يساوي 5 الواقع 3 بوزون بروتوني و 2 بوزون نيوتروني ، المستويان الأول والثالث هما مستوى 2-d-boson اما المستوى الثاني فهو مستوى 1-d-boson ، اما فيما يخص مستويات التأثير المختلط في الحزمة الأخرى التابعة للتقسيم نفسه [N-1,1] والمتمثلة بالمستويات ($J^+ = 0^+, 1^+, 2^+, 3^+, 4^+$) فوجد ان العملية قيمهم

(7.441, 7.667, 8.104, 8.734, 10.056) MeV تكون منسجمة ومتغقة مع النتائج النظرية للأنموذج (7.872 ، 8.171 ، 8.490 ، 9.192 ، 10.072) MeV حيث نلاحظ ان المستويات ($J^+ = 0^+, 1^+, 2^+$) تكون متقاربة من بعضها وفرق في ما بينها قليل . اما مستويات التأثير المختلط الأخرى التابعة للتقسيم [N-2,2] و برم نظيري T=1 فظهرت على شكل حزمتين ، الحزمة الأولى وتضم المستويات ($J^+ = 0^+, 1^+, 2^+, 3^+, 4^+, 5^+$) تكون فيها نسب

العملية والقيمة التحليلية للتحديد (6) O وكما هو موضح بالجدول (2).

جدول (2) يوضح القيم النظرية والعملية والتحليلية لنسب الطاقة لنظائر السليكون [15] :

| A | قيمة النسبة | $E4_1^+ / 2_1^+$ | $E2_2^+ / 2_1^+$ | $E0_2^+ / 4_1^+$ | $E0_2^+ / 2_1^+$ |
|-------|-------------|------------------|------------------|------------------|------------------|
| 28 | العملية | 2.59 | 4.14 | 1.07 | .79 |
| | النظرية | 2.59 | 3.82 | 1.00 | 2.77 |
| 30 | العملية | 2.82 | 2.15 | 1.01 | 2.40 |
| | النظرية | 2.84 | 2.38 | 1.03 | 2.8 |
| 32 | العملية | 2.83 | 2.18 | 0.90 | 2.57 |
| | النظرية | 2.82 | 1.92 | 0.86 | 2.42 |
| U(5) | | 2.00 | 2.00 | 1.00 | 2.00 |
| SU(3) | | 3.3 | 3.00 | >>1 | >> 2 |
| O(6) | | 2.5 | > 2 | -1 | 4.50 |



شكل (2) مقارنة بين النتائج العملية والنظرية لمستويات الطاقة للنظير ³⁰Si .

بتنسيق مؤشرات كازمر للحصول على نتائج نظرية متوافقة مع النتائج العملية والشكل (3) يوضح المقارنة بين نتائج IBM-3 ونتائج العملية فيما يخص مستويات الطاقة للنظير ³²Si . مستويات التناظر الكلي للحزمة الأرضية التابعة للتقسيم [N] و $T=2$ والممثلة

النظير ³²Si : يحتوي هذا النظير على 14 بروتونا و 18 نيوترونا وبالاعتماد على القشرة المغلقة $Z=20$ سيكون عدد بروتونات التكافؤ (6) في حين يكون عدد نيوترونات التكافؤ (2) وبعد أن تبين من دراستنا للنظيرين السابعين انتماًهما للتحديد (6) O تم الاستمرار

تنتمي للحزمة نفسها فقد تم الحصول عليها نظريا القيم لها سجلت 3.864 ، 7.105 ، 10.675 ، 12.515 ،)MeV . الحزمة الأولى التابعة للتقسيم [N-1,1] فقد ظهرت لها المستويات العملية ($J^+ = 2^+, 4^+$) عند القيم MeV (8.758 ، 5.412) تقابل القيم النظرية (8.592 ، 4.950) اما المستويات الأخرى فقد ظهرت المسمى 1_1^+ التابع للتقسيم [N-1,1] عند قيمة IBM-3 عملية (5.785)MeV متوافقة مع نتائج IBM-3 و كذلك نلاحظ ان المستوى (5.115)MeV (6.170)MeV تكون قيمته العملية ($J^+ = 2^+$) متوافقة مع نتائج IBM-3 وتساوي (6.772)MeV في حين لم تتوفر لدينا معلومات تجريبية عن المستويات الأخرى التابعة للحزمة نفسها التي تم الحصول عليها بواسطة الأنماذج . الدوال الموجية للمستوى $J^+ = 2^+$ هي كالتالي:

$$\begin{aligned} |2_1^+\rangle &= 0.691 |s_v^1 s_\pi^2 d_\pi^1\rangle + 0.399 |s_\pi^3 d_v^1\rangle + 0.277 |s_\pi^1 d_\pi^2 d_v^1\rangle + 0.234 |s_v^1 d_\pi^3\rangle \\ &+ 0.237 |s_\pi^1 d_v^1 d_\pi^2\rangle + \end{aligned}$$

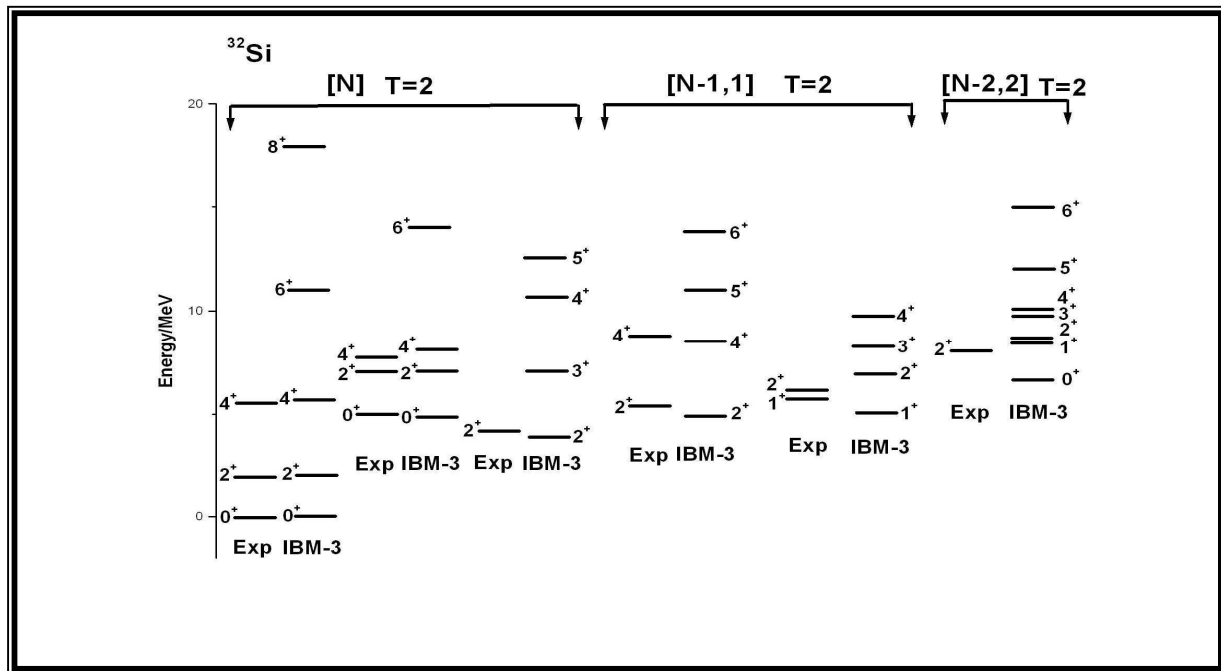
$$\begin{aligned} |2_2^+\rangle &= 0.627 \left\{ |s_v^1 s_\pi^1 d_\pi^2\rangle + |s_\pi^2 d_\pi^1 d_v^1\rangle \right\} + 0.295 \left\{ |s_\pi^1 s_\delta^1 d_\pi^1 d_\delta^1\rangle \right\} + 0.212 \left\{ |d_v^1 d_\pi^3\rangle \right\} \\ &- 0.147 \left\{ |s_\pi^2 d_\delta^2\rangle + |d_\pi^2 s_\delta^2\rangle \right\} + 0.108 |d_v^1 d_\pi^3\rangle + \end{aligned}$$

$$\begin{aligned} |2_3^+\rangle &= 0.573 |d_v^1 s_\pi^3\rangle + 0.380 |d_v^1 s_\pi^1 d_\pi^2\rangle + 0.330 |s_\pi^1 s_\delta^2 d_\pi^1\rangle \\ &- 0.330 \left\{ |s_v^1 s_\pi^2 d_\pi^1\rangle + |s_\pi^2 s_\delta^1 d_\delta^1\rangle \right\} - 0.213 |s_\pi^2 s_\delta^1 d_\delta^1\rangle + \end{aligned}$$

بالمستويات ($0_1^+, 2_1^+, 4_1^+$) تظهر الانسجام الواضح لقيم العملية والنظرية فسجلت عند القيم 0.0 , 0.0 , 0.0 , 1.941 , 5.502 (8) حسب نتائج IBM-3 ، نظريا تم الحصول على المستويين ($6_1^+, 8_1^+$) وكانت لهما القيمان (11.005 , 17.975)MeV (7.083 , 7.793)MeV و (4.880 , 7.055 , 8.145)MeV للنتائج النظرية على التوالي ، اما ما تبقى من مستويات حزمة $J^+ = 6^+$ عند القيمة (14.075)MeV ، الحزمة الأخرى التابعة للتقسيم نفسه أعلاه والتي تمثل مستويات حزمة كما فقد تم الحصول فقط على المستوى العملي ($J^+ = 2^+$) عند القيمة (4.230)MeV اما المستويات الأخرى ($J^+ = 2^+, 3^+, 4^+, 5^+$) التي

نلاحظ ان المستويي المتغير الأول لم يظهر فيه بروتون- نيوترون بوزون وهذا يعني ان هذا المستوي هو نتيجة تفاعل بوزونات من نوع بروتون- بوزون و نيوترون بوزون، اما المستويان الآخريان فإنهما يحتويان على مرکبه لهذا البوzon . تم الحصول على $T=2$ حزمة واحدة فقط تابعة للتقسيم $[N-2,2]$ و $T=2$ من الجدول (2) ان هنالك توافقا ممتازا بالقيم النظرية والعملية للنسب لهذا النظير .

نلاحظ ان المستويي المتغير الأول لم يظهر فيه بروتون- نيوترون بوزون وهذا يعني ان هذا المستوي هو نتيجة تفاعل بوزونات من نوع بروتون- بوزون و نيوترون بوزون، اما المستويان الآخريان فإنهما يحتويان على مرکبه لهذا البوzon . تم الحصول على $T=2$ حزمة واحدة فقط تابعة للتقسيم $[N-2,2]$ و $T=2$ تنتمي لها المستويات $J^+ = 0^+, 1^+, 2^+, 3^+, 4^+, 5^+, 6^+$ عند القيم $6.634, 8.445, 8.645, 9.745, \text{ MeV}$) النظرية (



شكل (3) مقارنة بين النتائج العملية والنظرية لمستويات الطاقة للنظير ^{32}Si .

4. مستويات التناظر المختلط

1975 قام (Ciroiner) بمعالجة جديدة لهذه المسالة باستخدام الانقال ثانوي القطب المغناطيسي في الانوية (Bohr and Mottelson) المشوهة ، بعد ذلك درس (Faessler) عام 1966 الحركة النووية عدة انوية باستخدام أنموذجيها لكن هذه الدراسات لم تستطع حساب طاقة هذه المستويات بشكل دقيق . لم يستطع أنموذج البوزونات المتفاعلة الأولى في تحديد هذه

ان تجارب الطيف النووي قد أوضحت وبشكل كامل وجود مستويات التناظر المختلط (Mixed symmetry states) ضمن مستويات الطاقة النووية ، عندما درس (Faessler) عام 1966 الحركة النووية التجميعية بين ان عدد البروتونات والنيوترونات تؤثر على هذه الحركة ولاسيما على سعنها ^[9] . وفي عام

الكلى فلا تتأثر بتغير المعامل ماعدا تغير طفيف جدا بالطاقة للمستوى $^{+}(2_2)$. أما تأثير المعامل على المستويات $(2_3^+, 2_4^+, 4_3^+)$ فلاحظ إنها تناسب تناسبا طرديا مع زيادته فكلما ازدادت قيمة المعامل C_{11} ازدادت معه مستويات الطاقة إلى أن تصل إلى الإشباع أو التغير الطفيف ولاسيما بعد القيمة المثلالية.

اما فيما يخص النظير ^{30}Si ³⁰ وما يوضحه الشكل (4b) فنجد ان المستوى $^{+}(1_1)$ يسلك نفس سلوك المستوى $^{+}(1_1)$ في النظير ^{28}Si ²⁸ في حين نجد ان مستويات التناظر الكلى المتماثلة بالمستويين $(2_3^+, 4_3^+)$ لم تتأثر قط بتغير المعامل C_{11} . اما المستويات ذات التناظر المختلط فنجد أنها تتأثر بصورة طفيفة ومتقطعة ولاسيما عند المستويات $(3_1^+, 4_2^+, 2_2^+)$ وتجه إلى النقصان عندما تقل قيمة المعامل عن القيمة المثلالية.

الشكل (4c) يوضح تغير المستويات $^{+}, 2_4^+, 2_3^+, 3_1^+$ ، ، ، 1_1^+ ، 4_3^+ للنظير ^{32}Si ³² كدالة للمعامل C_{11} وفيما يخص مستويات التناظر المختلط فنجد ان المستويين $(1_1^+, 2_4^+)$ يتتسابان طرديا مع تغير المعامل C_{11} فترداد قيمة طاقتها بينما تزداد قيمتها وتهبط عندما تقل قيمتها بعد القيمة المثلالية (*Best fit*) في حين نجد ان المستويات الأخرى تتأثر بصورة طفيفة بتغيره.اما بالنسبة للمستويات ذات التناظر الكلى والمتماثلة بالمستويين $(4_2^+, 2_2^+)$ فنجد ان المستوى $^{+}(4_2)$ ثابت بزيادة المعامل ولا يتغير إطلاقا عندما تقل قيمة المعامل عن القيمة المثلالية في حين نجد ان المستوى $^{+}(2_2)$ يتتأثر بصورة طفيفة جدا بتغير المعامل C_{11} .

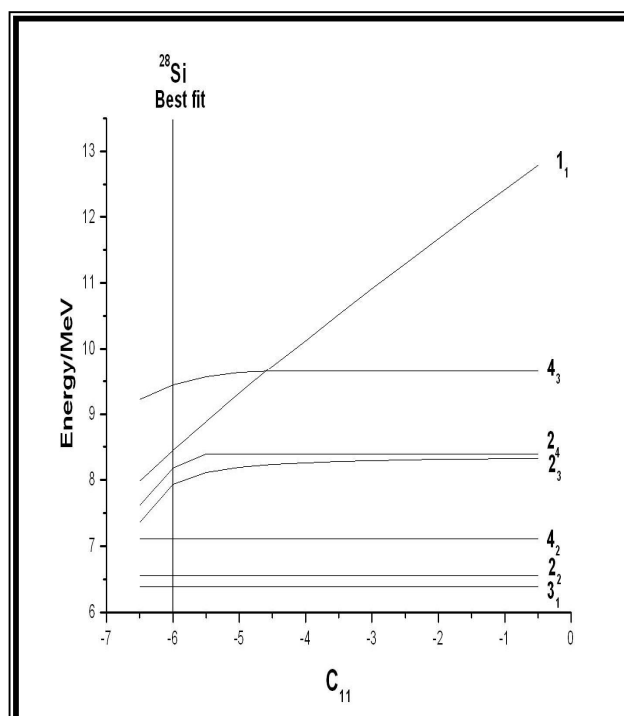
اما بالنسبة لتأثير المعامل C_{31} على مستويات الطاقة فنجد ان سلوك المستويات اختلف عن سلوكها السابق بتغيير المعامل C_{11} . وفيما يخص النظير ^{28}Si ²⁸ وما يوضحه الشكل (4d) فنجد ان مستويات التناظر

المستويات وعند تطوير هذا الأنماذج وإدخال درجات الحرية عليه استطاع الكشف عن الكثير من خصائص هذه المستويات، ان أهم مميزات أنماذج IBM-2 انه استطاع ان يتتبأ بمستويات التناظر المختلط ، إذ بين ان مستويات $^{+}(1)$ التي لم يستطع أنماذج IBM-1 من حسابها تعتبر من أكثر المستويات التي تحمل خصائص التناظر المختلط وأكثرها تميزا^[10] ، ولاحظ (Ritcher) عام 1984 ان اوطا مستوى $^{+}(1)$ الذي يحمل خصائص التناظر المختلط تتقاطع فيه حركة البروتونات والنيوترونات بنمط حركة تشبه المقص يعرف بـ^[11] (*Scissors mode*) (ويعني ان حركة البروتون والنيوترون ليست في طور واحد) . تتميز مستويات التناظر المختلط بالمميزات التالية^[12] :

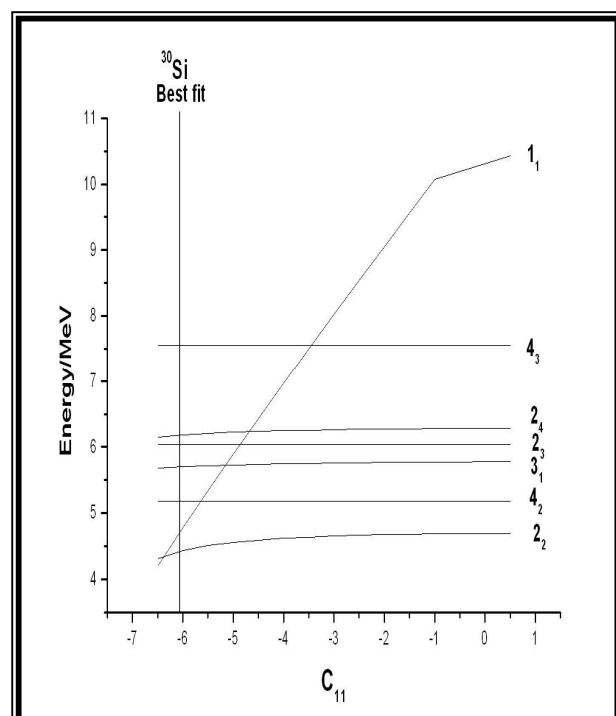
1. احتمالية الانتقالات E2 (رابعى القطب الكهربائي) قوية بين هذه المستويات وهذا يثبت طبيعة عزم رباعي القطب التجميعي .
2. عند انحلال هذه المستويات إلى مستويات التناظر الكلى تكون احتمالية الانتقال ثنائى القطب المغناطيسي (M1) قوية في حين احتمالية الانتقال رباعي القطب الكهربائي (E2) تكون ضعيفة . من اجل تحديد مستويات التناظر المختلط تم دراسة سلوك هذه المستويات كدالة لمعاملات ماجورانا وتحديدا للمعاملات (C_{11} ، C_{31}) ومعرفة تأثير تغير قيم هذين المعاملين على مستويات الطاقة . والشكل (4a) يوضح تغير مستويات الطاقة للنظير ^{28}Si ²⁸ عند تغير المعامل C_{11} مع الحفاظ على بقية المعاملات ثابتة عند قيمها المثلالية حيث نلاحظ ان المستوى $^{+}(1_1)$ ذو التناظر المختلط يتتأثر بصورة كبيرة ويزداد بزيادة المعامل في حين نجد ان المستويات $(3_1^+, 4_2^+, 2_2^+)$ ذات التناظر

حينما تهبط قيمة هذا المعامل عن القيمة المثالية له ثم تزداد هذه المستويات تدريجياً بزيادته وهذا يؤكد حساسية هذه المستويات مختلطة التناظر لغيرات معاملات ماجورانا ، في حين مستويات التناظر الكلي المتمثلة بالمستويات ($2_3^+, 4_3^+$) فنجد ان المستوي 2_3 لا يتتأثر بتغيير المعامل C_{31} في حين المستوي 4_3^+ فإنه يبدأ بالنقصان بطريقه تدريجياً وبصورة طفيفة عندما نقل قيمة المعامل عن القيمة المثالية . ولنتحقق تغير مستويات الطاقة للنظير ^{32}Si كدالة للمعامل C_{31} وما يوضحه الشكل (4f) نجد ان طاقة جميع المستويات تتتأثر بتغير المعامل C_{31} .

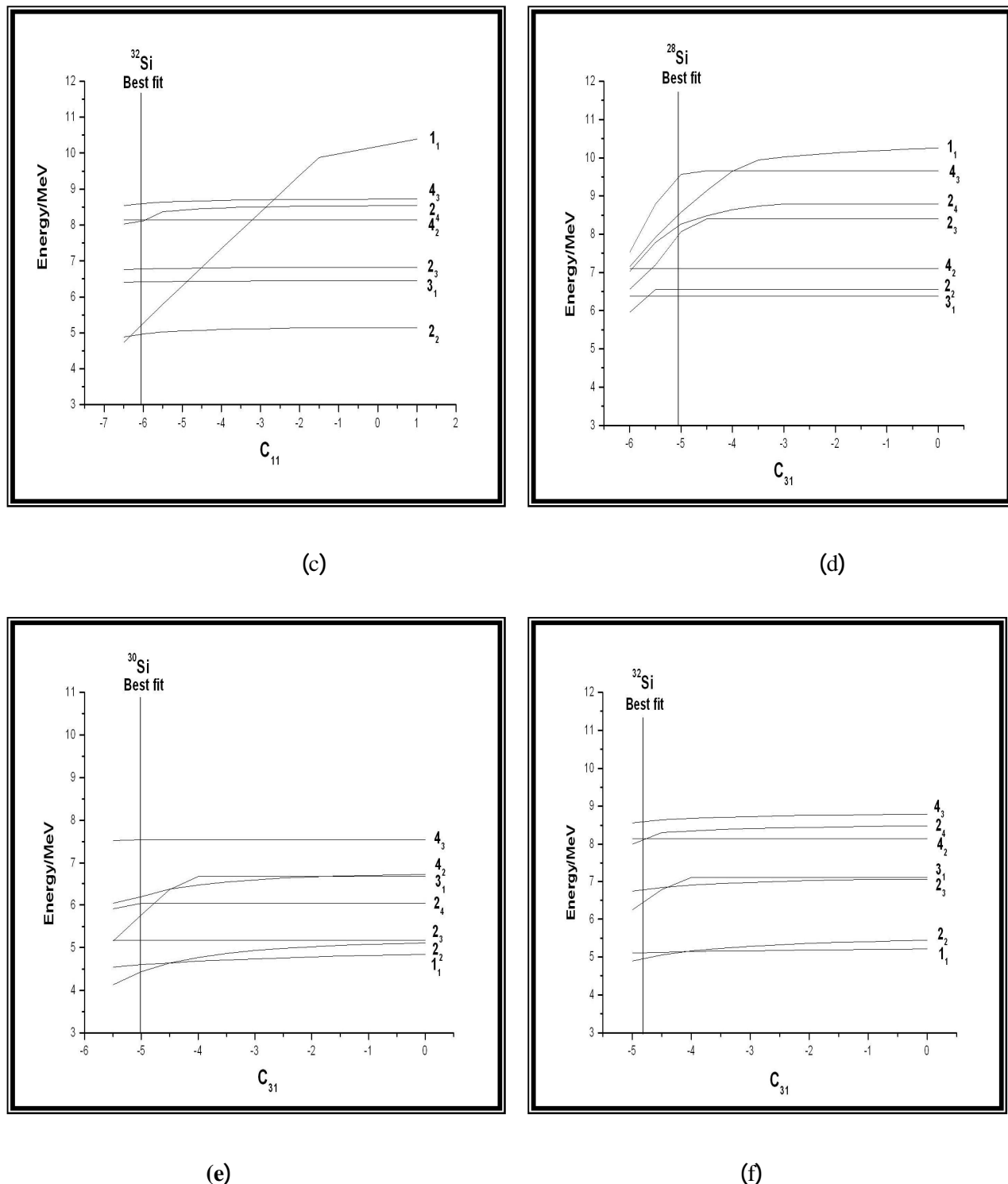
الكلي ($3_1^+, 4_2^+, 2_2^+$) تكون ثابتة بزيادة المعامل C_{31} ماعدا طاقة المستوي 2_3 حيث تهبط عندما نقل قيمته بعد القيمة المثالية (Best fit) . اما بالنسبة لمستويات التناظر المختلط ($1_1^+, 2_3^+, 2_4^+, 4_3^+$) نجد ان المستوي 1_1^+ يتتأثر بصورة كبيرة بتغيير المعامل وينحدر عندما نقل قيمته عن القيمة المثالية النظرية . اما بالنسبة للمستويات الأخرى فنجد أنها تتتأثر وتتجه نحو الهبوط عندما نقل قيمة المعامل عن القيمة المثالية النظرية . وبالنظر إلى تغير قيمة مستويات الطاقة للنظير ^{30}Si كدالة للمعامل C_{31} وما يوضحه الشكل (4e) فنجد ان مستويات التناظر المختلط والمتمثلة بالمستويات ($4_2^+, 3_1^+, 2_4^+, 1_1^+$) تتأثر بصورة كبيرة وتحدر بشدة



(a)



(b)



. الشكل (4) يوضح تغير مستويات الطاقة كدالة لمعاملات ماجورانا C_{11} و C_{31} .

5. الانتقالات الكهرومغناطيسية

بصورة عامة مؤثر الانتقال الكهرومغناطيسى في
أنموذج IBM-3 يتكون من المركبات (العددي
الاتجاهي (isovector) و التنسورى (isotensor)

: ((isotensor

$$\hat{T}_{m_l}^l(l_1, l_2) = \alpha \hat{T}_{m_l, 0}^{l, 0}(l_1, l_2) + \beta \hat{T}_{m_l, 0}^{l, 1}(l_1, l_2) + \gamma \hat{T}_{m_l, 0}^{l, 2}(l_1, l_2) \quad (8)$$

الرموز فوق المؤثرات تشير إلى الزخم الزاوي والبرم النظيري على التوالي . بصورة عامة مؤثر الانتقال في IBM-3 يكون فيه النظير التسوري مستثنى^[13]. أما مؤثر الانتقال رباعي القطب الكهربائي $E2$ فيكون له مركبة اتجاهية وعديمة في فضاء البرم النظيري للبوزون وكالاتي^[14]

$$T(E2) = T^0(E2) + T^1(E2) \quad (9)$$

$$\begin{aligned} T^0(E2) &= \alpha_0 \sqrt{3} [(s^+ \hat{d})^{20} + (d^+ \hat{s})^{20}] + \beta_0 \sqrt{3} [(d^+ \hat{d})^{20}] \\ T^1(E2) &= \alpha_1 \sqrt{3} [(s^+ \hat{d})^{21} + (d^+ \hat{s})^{21}] + \beta_1 \sqrt{3} [(d^+ \hat{d})^{21}] \end{aligned} \quad (10)$$

أما مؤثر الانتقال ثانوي القطب المغناطيسي $M1$ هو الآخر يتكون من مركبتين عديمة واتجاهية وكالاتي :

$$T(M1) = T^0(M1) + T^1(M1)$$

$$T^0(M1) = g_0 \sqrt{3} (d^+ \hat{d})^{10} = g_0 L / \sqrt{10} \quad (11)$$

$$T^1(M1) = g_1 \sqrt{3} (d^+ \hat{d})^{11} \quad (12)$$

حيث g_0 و g_1 هما قيم معامل g عندما $T=0$ ، $T=1$ على التوالي و مؤثر الزخم الزاوي . وان احتمالية الانتقال الكهرومغناطيسي تحسب من المعادلة الآتية :

$$B(\bar{w}\lambda; J_i \rightarrow J_f) = \frac{2J_f + 1}{2J_i + 1} \left| \langle J_f | T(\bar{w}\lambda) | J_i \rangle \right|^2 \quad (13)$$

حيث . $\bar{w}\lambda \equiv E\lambda$ or $M\lambda$

IBM-3 و النتائج العملية المتوفرة لدينا . وتعتبر احتمالية الانتقال رباعي القطب الكهربائي $B(E2)$ وقابلية حسابها من العوامل المهمة والأساسية في قابلية تحديد نجاح أي أنموذج نووي لأنها تعتمد على قيم الدوال الموجية المحسوبة من خلال حسابات مستويات الطاقة . تم حساب نسب التفرع لمعرفة شكل النواة والتحديد الذي تنتهي إليه ويمكن تعريف نسبة التفرع بأنها النسبة بين انتقاليين لهما المستوى الابتدائي نفسه ، والجدول (4) يوضح نتائج قيم نسب الفرع الآتية

تم حساب معدلات الانتقال رباعي القطب الكهربائي باستخدام المعادلة (13) التي تصف مؤثرات (isovector) و (isoscalar) للبوزون الواحد وذلك من خلال تحديد قيم معاملات $(\alpha_0, \beta_0, \alpha_1, \beta_1)$ وفي حساباتنا الحالية تم تحديد قيم هذه المعاملات الموضحة في الجدول (3) اعتمادا على القيمة العملية للانتقال $2 \rightarrow 0_1$ ولخصت نتائج الانتقال رباعي القطب الكهربائي $B(E2)$ في الجدول (5) حيث تشير هذه القيم إلى التقارب والانسجام الواضح بين النتائج النظرية

$$(R_2 = B(E2;2_2 \rightarrow 2_1) / B(E2;2_1 \rightarrow 0_1)) , (R_1 = B(E2;2_2 \rightarrow 0_1) / B(E2;2_1 \rightarrow 2_1)) \\ (R_4 = B(E2;4_1 \rightarrow 2_1) / B(E2;2_2 \rightarrow 2_1)) , (R_3 = B(E2;4_2 \rightarrow 4_1) / B(E2;4_2 \rightarrow 2_2))$$

المعاملات (g_1 ، g_0) الموضحة في الجدول (3) . لم تتوفر لدينا معلومات تجريبية فيما يخص احتمالية الانتقال ثائي القطب المغناطيسي للناظير ^{32}Si وذلك لاقتراب عدد النيوترونات إلى القشرة المغلقة $Z=20$ ، نظريا أعلى الانتقالات سجلت للناظير ^{30}Si والخاصة بالمستويات متاظرة الخلط .

ما جورانا إضافة إلى مستويات التباين المختلط $J^{\pm}=2^{\pm}$. عند دراسة الانتقالات الكهرومغناطيسية لأنوية وجذنا ان هنالك توافقا جيدا بين الانتقالات ولاسيما حينما يكون الانتقال داخل الحزمة نفسها ، حصلنا على توافق عند حساب نسب التفرع مع العلم ان نسب التفرع دائما قبلة للخطأ . استطاع أنموذج IBM-3 في تحديد مستويات البرم النظيري في جميع النظائر . من مقارنة النتائج التجريبية وجذنا توافقا جيدا بينهما داعما قابلية الانموذج في دراسة خواص هذه الانوية الخفيفة .

لنظائر السليكون وسجلنا توافقا جيدا للنسب وكانت أعلى النتائج هي للناظير ^{28}Si .

ان احتمالية حدوث الانتقال ثائي القطب المغناطيسي في أنموذج IBM-3 تم الحصول عليه من خلال استخدام المعادلة (13) التي تصف مؤثرات *isoscalar* و *isovector* للبيوزون الواحد وتم ذلك من خلال تحديد قيم

الاستنتاجات

من خلال الدراسة التي قمنا بها لمستويات الطاقة والانتقالات الكهرومغناطيسية وتأثير تهيجات البرم النظيري على قيم هذه المستويات وكذلك نوعية التباين ومن خلال المعلومات التي حصلنا عليها يمكن تلخيص الاستنتاجات وكما يأتي : من خلال نسب الطاقة تم تحديد كل نواة اعتمادا على مثلث كاستن واتضح لنا ان انوية السليكون تكون قريبة جدا من التحديد الانتقالي $O(6)$. عند إضافة تأثير تفاعلات ما جورانا على قيم مستويات الطاقة اتضح لنا ان المستوى ذا التباين المختلط 1^+ هو من أكثر المستويات تأثرا بالتغييرات في معاملات

جدول (3) يوضح قيم احتمالية حدوث الانتقال رباعي القطب الكهربائي (E2) $B(E2)$ $e^2 b^2$ والانتقال ثانى القطب المغناطيسى (M1)

$$\text{بوحدات } \mu_N^2 \text{ لنظائر السليكون}$$

| B(E2) | | | | | | |
|---------------------------|-----------|--------|-----------|--------|-----------|--------|
| $J_i^+ \rightarrow J_f^+$ | ^{28}Si | | ^{30}Si | | ^{32}Si | |
| | EXP | IBM-3 | EXP | IBM-3 | EXP | IBM-3 |
| | 0.0066 | 0.0058 | 0.0046 | 0.0048 | 0.0000 | 0.0040 |
| $2_1 \rightarrow 0_1$ | 0.0001 | 0.0004 | 0.0000 | 0.0003 | | 0.0003 |
| $2_2 \rightarrow 0_1$ | 0.0003 | 0.0002 | | 0.0002 | | 0.0003 |
| $2_2 \rightarrow 0_2$ | 0.0004 | 0.0000 | 0.0000 | 0.0000 | | 0.0000 |
| $0_2 \rightarrow 2_1$ | 0.0069 | 0.0076 | 0.0025 | 0.0060 | | 0.0048 |
| $4_1 \rightarrow 2_1$ | 0.0000 | 0.0003 | 0.0049 | 0.0020 | | 0.0001 |
| $4_2 \rightarrow 2_1$ | 0.0146 | 0.0041 | | 0.0030 | | 0.0022 |
| $4_2 \rightarrow 2_2$ | 0.0001 | 0.0004 | 0.0002 | 0.0002 | | 0.0002 |
| $3_1 \rightarrow 2_1$ | | 0.0000 | 0.0000 | 0.0002 | | 0.0002 |
| $1_1 \rightarrow 2_1$ | 0.0049 | 0.0077 | | 0.0058 | | 0.0042 |
| $6_1 \rightarrow 4_1$ | | 0.0076 | 0.0001 | 0.0060 | 0.0000 | 0.0001 |
| $2_2 \rightarrow 2_1$ | | 0.0037 | | 0.0028 | | 0.0048 |
| $4_2 \rightarrow 4_1$ | 0.0066 | 0.0058 | 0.0046 | 0.0048 | | 0.0020 |
| B(M1) | | | | | | |
| $J_i^+ \rightarrow J_f^+$ | ^{28}Si | | ^{30}Si | | ^{32}Si | |
| | EXP | IBM-3 | EXP | IBM-3 | EXP | IBM-3 |
| $0_2 \rightarrow 1_1$ | 0.00014 | 0.0000 | 0.0001 | 0.0000 | | 0.0000 |
| $1_1 \rightarrow 0_1$ | 0.0043 | 0.0000 | 0.0093 | 0.0069 | | 0.0103 |
| $1_1 \rightarrow 2_1$ | | 0.0000 | 0.1611 | 0.0000 | | 0.0000 |
| $2_2 \rightarrow 2_1$ | | 0.0000 | 0.0021 | 0.0000 | | 0.0000 |
| $2_3 \rightarrow 1_1$ | | 0.0000 | 0.0644 | 0.0135 | | 0.0331 |

جدول (4) يوضح قيم نسب التفرع لنظائر السليكون $.^{28-32}Si$

| A | R ₁ | R ₂ | R ₃ | R ₄ |
|---------|----------------|----------------|----------------|----------------|
| 28 | 0.053 | 1.31 | 0.902 | 1 |
| 30 | 0.05 | 1.25 | 0.933 | 1 |
| 32 | 0.063 | 1.20 | 0.909 | 1 |
| $U(5)$ | 0.01 | 1.40 | 0.72 | 1.0 |
| $SU(3)$ | 0.70 | 0.02 | 0.03 | 6.93 |
| $O(6)$ | 0.07 | 0.79 | 0.75 | 1.84 |

المصادر

- [1] A. Arima and F. Iachello, Ann. Phys., 99, 253 (1976).
- [2] A. Arima and F. Iachello, Ann. Phys., 111, 201 (1978).
- [3] A. Arima and F. Iachello, Ann. Phys., 123, 468 (1979).
- [4] F. Iachello and A. Arima, “*The Interacting Boson Model*”, Cambridge, Cambridge University Press (1987).
- [5] F. H. Al-Khudair , "Ph. D Thesis , Tsinghua University, Beijing , China (2005) .
- [6] J .E. Garcia-Ramos and P.Van Isacker. Ann. Phys. 274, 45 (1999).
- [7] G.L. Long, Chinese Journal of Nuclear Physics, 16, 331 (1994).
- [8] National Nuclear Data Center
<http://www.nndc.bnl.gov> (2011).
- [9] F. H. Al-khudair , "M. Sc. Thesis , Basrah university ,(1995).
- [10] M. Sambataro , O.Scholten , A.E.L.Dieperink . N.Lo Iudice , F.Palumbo, Phys. Lett. B 137 (1984), 27 .
- [11] Richter A . Nucl . Phys . , 1991 , A 522: 139c-166c .
- [12] D. Hamilton, A. Irback and J.P. Elliott, Phys. Rev. Lett., 53, 2469 (1984).
- [13] J. P. Elliott, J. A. Evans, and S. V. Lac, Nucl. Phys. A 597, 341 (1996).
- [14] F. H. Al-Khudair, Y. S. Li, and G. L. Long, Phys. Rev. C 75, 054316 (2007).
- [15] J. Stachel , P.Van Isacker, K. Heyde , Phys. Rev.C25,650 (1982) .

Isospin and Symmetry Excitations in Light Nuclei Silicon ($^{28-32}Si$) & Magnesium ($^{22-26}Mg$) Isotopes.

F. H. Khudair And Musa Mohammed Mahdy

*Department of Physics – College of Education – University of Basrah
Basrah – Iraq*

Abstract

The interacting boson model with isospin (IBM-3) has been used to study the positive parity states in (even-even) $^{28-32}Si$ and $^{22-26}Mg$ isotopes . The bands structure and symmetry have been investigated . Special attention is given to the occurrence isospin excitations . To identify nuclei's shape , the energy ratios were calculated . The reduced electric quadruple transitions probability B(E2), the magnetic dipole transitions B(M1) and branch ratios were calculated , and these transitions were compared with available experimental data , well as we study the energy levels for Si and Mg as a function of Majorana parameters which are so necessary for the identification of the mixed symmetry states .The calculated results are compared with available experimental data , and they are in general good agreement . according to our theoretical results , we found that the silicon isotopes belong to the O(6) limit (γ -unstable), while the magnesium isotopes appears the limits of U(5) and Su(3) according to IBM-3 limits properties . It was pointed out that IBM-3 is equitably reliable for the description of spectra and other properties of these nuclei .